

出光興産北海道製油所 石郷岡 三郎  
 鹿島建設技術研究所 正員 三村 長二郎  
 " " 藤田 晴男

1. よみがえり 外洋の波と直接受けける沖合のいわゆる外洋シーバースでは、係留中の船体がうねりを受けて動搖した時に生じる衝撃力が、設計上重要な外力となる。しかししながら、この種の衝撃力に関する研究はまだ少くなく、こうしてシーバースの設計を発展させていくには、種々の面から研究を積むことが重要である。このような観点から、筆者等はまず実験の状況を把握することが重要であると考え、初めての外洋シーバースである出光北海道シーバースにおいて現地観測を実施してきた。<sup>1)</sup>一方、理論的解析の面からも検討すべく、係留船体の運動性状を考えると、設計で対象となるような比較的大きな衝撃力にむかう場合には、係留船体の入射波による強制振動と、係留索～船舶の復元力系における自由振動が重要であると考えられ、これらの振動成分に主眼を置いて応答解析を試みて衝撃力の算定を行った。<sup>2)</sup>ただし、この応答解析で幾つかの要因のうち、前者の強制振動に関しては、係留船体のローリングの固有振動特性が、また後者の自由振動では、スエーケンスの固有振動特性が重要な要因となる。そのため、工記の現地観測の結果より、これらの固有振動特性について整理を行なってみたが、ここでは、この実測例を、応答解析で用ひた方法による計算値と比較し、固有振動特性の性状を調べてみた。

2. ローリング固有周期 当シーバースの係留対象船舶は、原油用大型タンカーで、ローリングの測定はその甲板上に、可動録輪型のローリング振動計（固有振動数 $f_0 = 0.5 \text{ Hz}$ 、周波数特性は $0.05 \text{ Hz} \sim 5.0 \text{ Hz}$ がフラット）を設置して行なった。測定された波形には、入射波の周期に対応するような振動成分もあるが、ローリングの固有振動とせられる振動成分もあって、周波数分析も施しながら、その固有周期を読み取った。その代表例を図-1に示すが、荷揚げに伴つて吃水が浅くなるにつれ、固有周期が減少してゆく様子がわかる。

一方、ローリング固有周期( $T_R$ )の計算値を、文献[2]で用ひた式によつて求めめてみる。計算式は(1)式のとおりで、係留索による復元力や、逆流抵抗に伴う付加質量効果などは、微々たるものであるので省略されている。

$$T_R = 2\pi \sqrt{\frac{I_0 + I_1}{W \cdot GM}} \quad (1)$$

ここで、 $I_0$ は船体の質量慣性モーメント、 $I_1$ は船底下的底面積からもたらされる付加質量慣性モーメント、 $W$ は船体重量、 $GM$ は傾心高である。これらは船体の寸法( $B, D$ )、吃水( $d$ )、水深( $h$ )などを手えて定まるが、 $GM$ については、特に船体

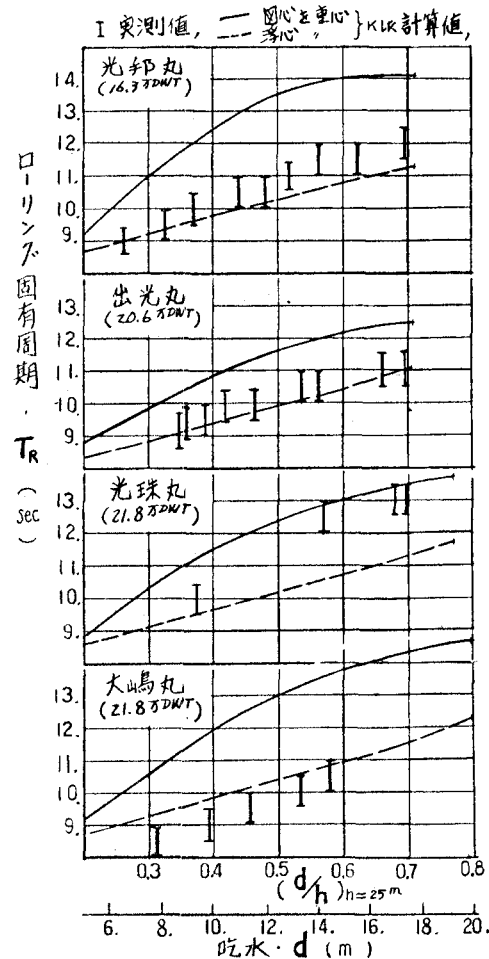


図-1 ローリング固有周期の実測値と計算値

の重心位置の考え方が重要なようだ。ただし重心位置は、原油やバラストの積載状態に応じて異なるが、船体横断面の重心と浮心の間に位置するとせられる。

したがって、ここではこの2種類の重心位置を用いて、固有周期を計算してみた。その結果は図-1に併記したとおりである。すなわち、重心位置の採り方による範囲が伴うが、このような方法をもって、有限水深の所に係留された大型タンカーのローリング固有周期が算定できそうだと思われる。

3. スエーアイングの固有振動特性 係留索と防舷材との復元力系におけるスエーアイングは、i) 船体が防舷材から離れている状態と、ii) 防舷材を押している状態とで、その挙動が著しく相違する。衝撃力を検討する場合には、両方ともその性状を把握しておく必要があるが、ii) の状態に関しては静的泊岸時の挙動が参考になるので、むしろ i) の状態に関して調べておくことが重要である。

ところで、スエーアイングの測定としては、防舷材に取付けた変形計（コイルバキとロードセルで構成）によつたので、i) の状態に関しては、船体が防舷材に接触する時間と離れる距離を測定結果には、入射波に影響されて不規則になつてゐる場合もあるが、固有振動によるとせられる規則的な場合もあり、ここのi) の規則的時間と離と、衝撃力作用周期として整理してみた。その一例を図-2に示すが、数十分の周期である。

一方、このi) の状態を、文献[2]に示した方法で計算してみると、周期が長く、船体が防舷材から離れる距離も少なかつたので、係留索のベキ差数を線形化し、遠波抵抗を無視すると、スエーアイング $(\ddot{x}_q)$ は(2)式で表される。

$$(\ddot{x}_q) = \frac{(\dot{\ddot{x}}_q)_0}{\omega_M} \sin \omega_M t + \frac{F_0}{K_M} (1 - \cos \omega_M t), \quad \text{ただし } \omega_M = \sqrt{\frac{K_M}{m_0 + m_1}} \quad \dots \quad (2)$$

ここで、 $(\dot{\ddot{x}}_q)_0$ は初期速度、 $F_0$ は係留索による初期張力、 $K_M$ は係留索のベキ差数、 $m_0$ および $m_1$ は船体の質量および附加質量である。図-2の場合に対応するような計算条件として、係留索（Φ75ナilonロープで構成）の初期張力は約10t/船体より $F_0 = 60t$ 、そのベキ差数は約2/船体より $K_M = 12 \text{ t/m}$ 、初期速度は防舷材の変形量からみて、 $(\dot{\ddot{x}}_q)_0 = -0.05 \sim -0.10 \text{ m/sec}$ 、そして質量は $(1 + \frac{m_1}{m_0}) \approx 1 \sim 2$ の範囲で取ると、計算結果は図-3のようになる。衝撃力作用周期に関しては、計算条件における範囲の結果に反対すると、3大であるため、計算値と実測値はそのオーダーでの対比しかどまる。ただし、衝撃力を検討や係留索の張力を調べる場合の方法としては、さらに検討を積む余地があるが、その有用性をつかむことができる。

〈共同研究者〉 広島建設技術研究所；野尻陽一、森光康夫、竹田哲夫

〈参考文献〉 1) 石間岡、三村、藤田；外洋シーバスにおける船舶係留中の衝撃力実測例、土木学会第29回年次学術講演会、II-23  
2) 三村、森光、竹田；外洋シーバスにおける船舶係留中の衝撃力に関する検討、土木学会第2回東京都年次研究発表会、II-18

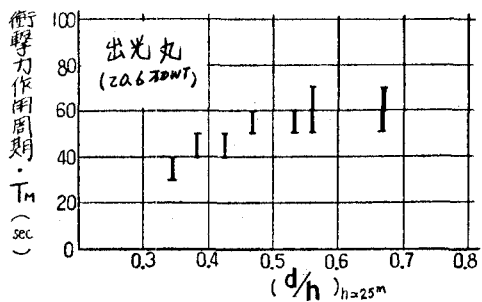


図-2 衝撃力作用周期の実測例

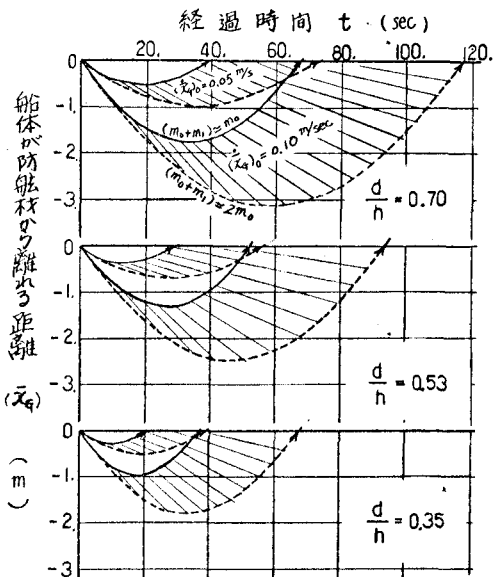


図-3 出光丸のスエーアイング(i)の状態)の計算値